

# Determinación computacional de la ruta biogenética de las cheiloclinas A-I a través de métodos multiescala

Briceño-Vargas Flor María, Quijano-Quiñones Ramiro Felipe, Mirón-López Gumerindo  
A15001548@alumnos.uday.mx, flormariamontserrat@gmail.com, Número de becario: 4012284

Palabras clave: productos naturales, Diels-Alder, cheiloclinas, ONIOM.

Más de  
**400**  
productos naturales  
podrían provenir de una  
reacción Diels-Alder<sup>1</sup>



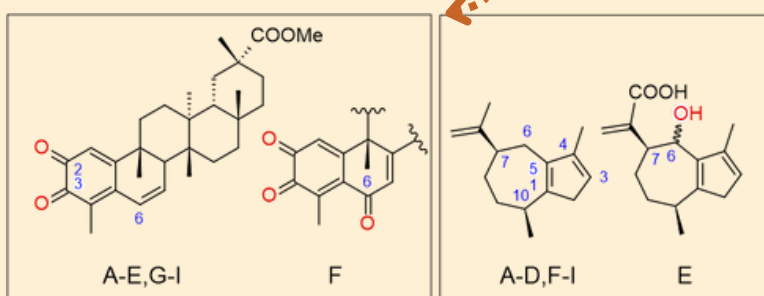
DIELS-ALDER  
D-A + REARREGLO  
MICHAEL-ALDOL +  
ATAQUE NUCLEOFÍLICO

¡INCLUSO  
SIN  
ENZIMAS!

No obstante, pueden formarse  
mediante otras vías<sup>2,3</sup>

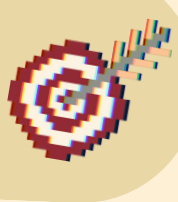


Celastraceae (Plantae) destaca por producir estos aductos, como las cheiloclinas A-I:<sup>4</sup>



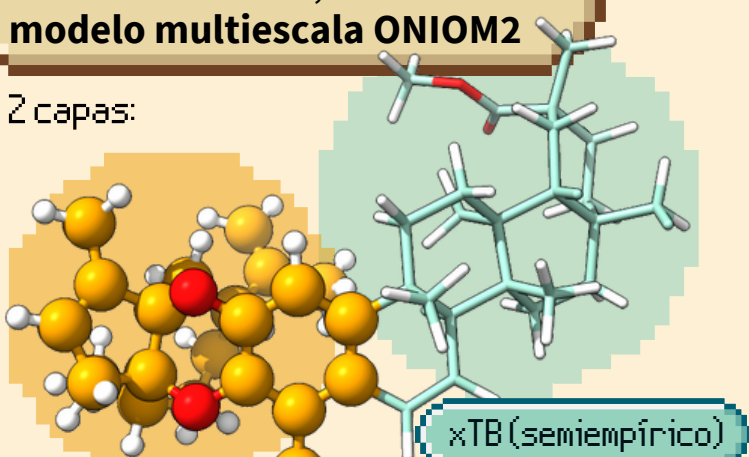
Un caso único de *aislamiento sistemático* de isómeros a partir de un organismo

Por ello, se determinó el mecanismo de formación usando métodos computacionales



Debido al tamaño, se usó el modelo multiescala ONIOM2

2 capas:



61 átomos

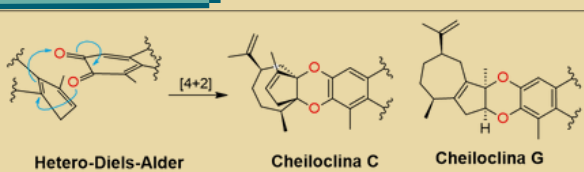
MO6-2X/6-31G(d,p)

50 átomos

Así, se hallaron **dos vías** de biogénesis:

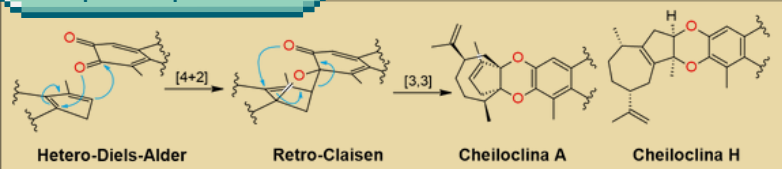


Concertada



Las cheiloclinas A, B, H, E e I son compatibles con la formación espontánea en condiciones normales (~15-20 kcal/mol)<sup>5</sup>.

Por pasos, tandem



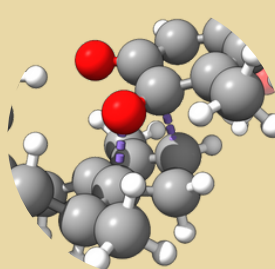
Los cálculos indican que las cheiloclinas A, B, H, E e I no requieren asistencia enzimática.



Las energías libres de activación en procesos concertados varían entre 30-36 kcal/mol, salvo en las cheiloclinas E e I, cercanas a 20 kcal/mol.



En cambio, las barreras del paso limitante de las cheiloclinas A, B y H están entre las 17 y 21 kcal/mol.



Nuestros resultados sugieren que la selectividad está influenciada por fuerzas de dispersión y efectos estéricos entre los precursores.

(1) Okawa, H.; Tokiwanou, T. Enzymatic Catalysis of the Diels-Alder Reaction in the Biosynthesis of Natural Products. *Nat Prod Rep* 2004, 21 (3), 321–352. <https://doi.org/10.1039/B305068H>.  
(2) Quijano-Quiñones, R.; Castro-Segura, C.; Mena-Rejón, G.; Quesadas-Rojas, M.; Cáceres-Castillo, D. Biosynthesis of Grandione: An Example of Tandem Hetero Diels-Alder/Retro-Claisen Rearrangement Reaction? *Molecules* 2018, 23 (10), 2505. <https://doi.org/10.3390/molecules23102505>.

(3) Quesadas-Rojas, M.; Mena-Rejón, G. J.; Castro-Segura, C. S.; Cáceres-Castillo, D. R.; Quijano-Quiñones, R. F. Theoretical Insight into the On-Water Catalytic Effect in the Biogenesis of Triterpene Dimers: From One-Step to Two-Step Hetero Diels-Alder Reactions. *New J. Chem.* 2021, 45 (47), 22417–22423. <https://doi.org/10.1039/DINJ04221A>.

(4) Mesa-Siverio, D.; Chávez, H.; Estévez-Braun, A.; Ravelo, Á. G. Cheiloclinines A-I. First Examples of Octacyclic Sesquiterpene-Triterpene Hetero-Diels-Alder Adducts. *Tetrahedron* 2005, 61 (2), 429–436. <https://doi.org/10.1016/j.tet.2004.10.074>.

(5) Wang, S. C.; Tantillo, D. J. Theoretical Studies on Synthetic and Biosynthetic Oxidopyrylium-Alkene Cycloadditions: Pericyclic Pathways to Intricarene. *J. Org. Chem.* 2008, 73 (4), 1516–1523. <https://doi.org/10.1021/jo7023762>.